

УДК 517. 977

СУБРИМАНОВЫ ГЕОДЕЗИЧЕСКИЕ НА ГРУППЕ $SO(3)$ В ЗАДАЧЕ ПОИСКА КРОВЕНОСНЫХ СОСУДОВ НА СФЕРИЧЕСКИХ ИЗОБРАЖЕНИЯХ СЕТЧАТКИ

© 2017 г. А. П. Маштаков^{1, *}, Р. Дайтс (R. Duits)², Ю. Л. Сачков¹,
Е. Беккерс (E. Bekkers)², И. Ю. Бесчастный³

Представлено академиком РАН Р. В. Гамкрелидзе 13.10.2016 г.

Поступило 28.11.2016 г.

Рассматривается задача поиска кривой γ на двумерной сфере, соединяющей заданные граничные точки и направления в них и минимизирующей функционал $\int_0^l \mathfrak{C}(\gamma(s)) \sqrt{\xi^2 + k_g^2(s)} ds$. Длина l кривой γ свободна, $\xi > 0$ – фиксированный параметр, s обозначает длину дуги на сфере, k_g – геодезическую кривизну, а $\mathfrak{C} \geq \delta > 0$ – гладкую функцию “внешней стоимости”. Показано, что решением являются сферические проекции субримановых кратчайших на группе Ли $SO(3)$. Построено численное решение, проверенное путем сравнения с точным решением в случае $\mathfrak{C} = 1$. Задача имеет приложения в обработке изображений: найденные кривые используются для обнаружения местоположения кровеносных сосудов на сферических изображениях сетчатки. Функция “внешней стоимости” при этом определяется сферическим изображением.

DOI: 10.7868/S0869565217110020

Поиск выделяющихся кривых на изображении – широко известная задача компьютерного зрения. Многие методы основаны на идее поиска таких кривых как геодезических некоторой метрики, определённой на изображении [1]. При этом минимальная геодезическая (кратчайшая) есть кривая, минимизирующая функционал длины с весовым коэффициентом “внешней стоимости”, получаемым из изображения. Типичная функция внешней стоимости имеет малые значения на участках изображения, где проходит выделяющаяся кривая, и большие значения вне этих участков.

Другая разновидность геодезических методов, вдохновлённых принципами работы первичной зрительной коры головного мозга человека, была предложена в [2, 3]. В этих работах в качестве модели восприятия контура выступают субримановы (СР) геодезические на группе

Гейзенберга $H(3)$ и группе евклидовых движений плоскости $SE(2)$ соответственно. Позже эта модель была использована для восстановления изображений в [4].

Сочетание такой модели восприятия контура и геодезических методов, основанных на функции внешней стоимости, было предложено в [5], где поиск выделяющихся кривых осуществлялся с помощью адаптированных к данным СР геодезических на группе $SE(2)$. Метод был использован для поиска кровеносных сосудов на плоских изображениях сетчатки и показал лучшие результаты при сравнении с известными методами.

В данной работе мы развиваем подход, описанный в [5], и предлагаем метод поиска выделяющихся кривых на сферических изображениях. Для этого рассматривается СР-структура на группе Ли $SO(3)$, действующей транзитивно на двумерной сфере S^2 . Предлагаемый метод применяется для поиска кровеносных сосудов на сферических изображениях сетчатки с пониженной дисторсией (ввиду сферической поверхности сетчатки).

Обозначим $S^2 = \{\mathbf{n} \in \mathbb{R}^3 \mid \|\mathbf{n}\| = 1\}$. Рассматривается задача $\mathbf{P}_{\text{curve}}$ (см. рис. 1): по заданным

¹ Институт программных систем им. А.К. Айламазяна Российской Академии наук, Веськово Переславского р-на Ярославской обл.

² Eindhoven University of Technology, The Netherlands

³ International School for Advanced Studies, Trieste, Italy

* E-mail: alexey.mashtakov@gmail.com

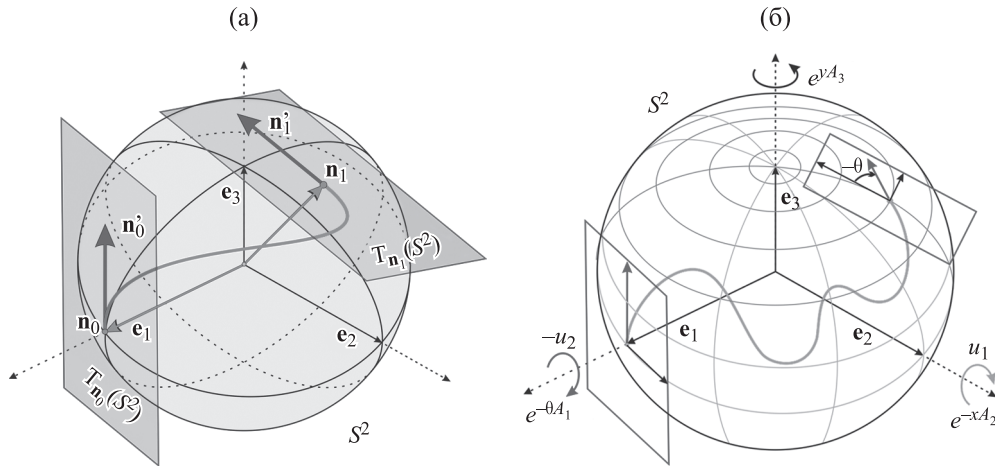


Рис. 1. Задачи P_{curve} на сфере S^2 (а) и P_{mes} на группе Ли $SO(3)$ (б).

граничным точкам $\mathbf{n}_0, \mathbf{n}_1 \in S^2$ и направлениям $\mathbf{n}'_0 \in T_{\mathbf{n}_0}(S^2)$, $\mathbf{n}'_1 \in T_{\mathbf{n}_1}(S^2)$, $\|\mathbf{n}'_0\| = \|\mathbf{n}'_1\| = 1$ найти гладкую кривую $\mathbf{n}(\cdot): [0, l] \rightarrow S^2$, удовлетворяющую условиям

$$\mathbf{n}(0) = \mathbf{n}_0, \quad \mathbf{n}(l) = \mathbf{n}_1, \quad \mathbf{n}'(0) = \mathbf{n}'_0, \quad \mathbf{n}'(l) = \mathbf{n}'_1,$$

и для фиксированного $\xi > 0$ минимизирующую функционал

$$\mathcal{L}(\mathbf{n}(\cdot)) := \int_0^l \mathcal{E}(\mathbf{n}(s)) \sqrt{\xi^2 + k_g^2(s)} ds,$$

где s – параметр длины дуги на сфере, $k_g(s)$ – геодезическая кривизна кривой $\mathbf{n}(\cdot)$ на S^2 , вычисленная в момент s ; общая длина l свободна и $\mathcal{E}: S^2 \rightarrow [\delta, +\infty)$, $\delta > 0$ – функция внешней стоимости.

Задача P_{mes} поиска СР кратчайших на группе $SO(3)$ имеет вид

$$\begin{aligned} \dot{R} &= u_1 X_1 + u_2 X_2, & R(0) &= Id, & R(T) &= R_{fin}, \\ \mathcal{L}(R(\cdot)) &:= \int_0^T C(R(t)) \sqrt{\xi^2 u_1^2(t) + u_2^2(t)} dt \rightarrow \min, \end{aligned}$$

где $R \in SO(3)$, X_i – базисные левоинвариантные векторные поля на $SO(3)$, $\xi > 0$ – постоянная, и конечное время $T > 0$ свободно.

Внешняя стоимость $C: SO(3) \rightarrow [\delta, +\infty)$, $\delta > 0$, получается поднятием \mathcal{E} со сферы S^2 на группу $SO(3)$, т.е. $C(R) = \mathcal{E}(R\mathbf{e}_1)$.

Далее мы показываем, что сферическая проекция $SO(3) \ni R \mapsto R\mathbf{e}_1 \in S^2$ некоторых решений

задачи P_{mes} является решением задачи P_{curve} . Более точно, это выполнено для кратчайших, сферические проекции которых не имеют точек возврата. Такие точки возникают, когда управление $u_1(t)$ меняет знак. До первой точки возврата кратчайшая P_{mes} может быть параметризована длиной дуги $s \in [0, s_{max})$ на сфере S^2 .

Теорема 1. Пусть $R(t)$, $t \in [0, T]$, есть кратчайшая в P_{mes} , параметризованная СР длиной дуги $C(R(t)) \sqrt{\xi^2 u_1^2(t) + u_2^2(t)} = 1$, и пусть соответствующее оптимальное управление $(u_1(t), u_2(t))$ удовлетворяет неравенству $u_1(t) > 0$ для всех $t \in [0, T]$.

Положим $\mathbf{n}_0 = \mathbf{e}_1$, $\mathbf{n}_1 = R(T)\mathbf{e}_1$, $\mathbf{n}'_0 = \mathbf{e}_3$, $\mathbf{n}'_1 = R(T)\mathbf{e}_3$. Для таких граничных условий P_{curve} имеет решение $\mathbf{n}(s)$,

$$\mathbf{n}(s) = R(t(s))\mathbf{e}_1, \quad 0 \leq s \leq l < s_{max},$$

$$u_1(t) = \frac{ds}{dt}(t),$$

$$u_2(t) = k_g(s(t)) \frac{ds}{dt}(t),$$

$$t(s) = \int_0^s \mathcal{E}(\mathbf{n}(\sigma)) \sqrt{\xi^2 + k_g^2(\sigma)} d\sigma, \quad T = t(l).$$

Мы исследуем аналитически задачу P_{mes} в случае $C = 1$. Обозначим через $R_{\mathbf{a}, \phi}$ вращение вокруг оси $\mathbf{a} \in S^2$ на угол ϕ в положительном направлении, и параметризуем $SO(3)$ тремя углами x, y, θ , так что $R(x, y, \theta) = R_{\mathbf{e}_3, y} R_{\mathbf{e}_2, -x} R_{\mathbf{e}_1, \theta}$. Применение принципа максимума Понтрягина [6] (необходимого

условия оптимальности) позволяет получить явные формулы для СР геодезических. Геодезические, не имеющие точек возврата в сферической проекции, параметризуются длиной сферической дуги. Такие “безвозвратные” геодезические определяются следующей гамильтоновой системой:

$$\begin{aligned}
 &\text{вертикальная часть} && \text{горизонтальная часть} \\
 &h_1(s) = \xi^2 \frac{ds}{dt} \geq 0, && x'(s) = \cos \theta(s), \\
 &h_2'(s) = h_3(s), && y'(s) = -\sec x(s) \sin \theta(s), \\
 &h_3'(s) = (\xi^2 - 1)h_2(s), \quad \theta'(s) = \sin \theta(s) \operatorname{tg} x(s) + \frac{\xi h_2(s)}{\sqrt{1-h_2^2(s)}}, &&
 \end{aligned}
 \tag{1}$$

с граничными условиями

$$\begin{aligned}
 h_2(0) = h_2^0, \quad h_3(0) = h_3^0, \quad x(0) = 0, \\
 y(0) = 0, \quad \theta(0) = 0.
 \end{aligned}
 \tag{2}$$

Формулы для “безвозвратных” геодезических получаются проще, чем для геодезических в общем случае. В отличие от общего случая, где возникают эллиптические функции Якоби, здесь остаётся только один эллиптический интеграл.

Теорема 2. *Решение гамильтоновой системы (1), (2) определено и единственно на интервале $s \in [0, s_{\max}(h(0))$), где*

$$\begin{aligned}
 &s_{\max}(h(0)) = \\
 &= \begin{cases} \frac{\operatorname{sgn}(h_3^0) - h_2^0}{h_3^0} & \text{для } \chi = 0, \quad h_3^0 \neq 0, \\ \frac{1}{\chi} \ln \left(\frac{s_1(\sqrt{\kappa} + \chi)}{h_2^0 \chi + h_3^0} \right) & \text{для } \chi \neq 0, \quad \kappa \geq 0, \quad h_2^0 \chi + h_3^0 \neq 0, \\ +\infty & \text{иначе,} \end{cases}
 \end{aligned}$$

где $\chi = \sqrt{\xi^2 - 1}$ (главная ветвь корня), $s_1 = \operatorname{sgn}(\operatorname{Re}(h_2^0 \chi + h_3^0))$ и $\kappa = (h_3^0)^2 + (1 - (h_2^0)^2) \chi^2 \in \mathbb{R}$.

Решение вертикальной части имеет вид

$$\begin{aligned}
 &\text{для } \chi \neq 0: && \text{для } \chi = 0: \\
 &h_2(s) = h_2^0 \operatorname{ch} s\chi + \frac{h_3^0}{\chi} \operatorname{sh} s\chi, && h_2(s) = h_2^0 + h_3^0 s, \\
 &h_3(s) = h_3^0 \operatorname{ch} s\chi + \chi h_2^0 \operatorname{sh} s\chi, && h_3(s) = h_3^0, \\
 &h_1(s) = \xi \sqrt{1 - h_2^2(s)}, && h_1(s) = \sqrt{1 - h_2^2(s)}.
 \end{aligned}$$

Решение горизонтальной части имеет вид

$$\begin{aligned}
 x(s) &= \arg(\sqrt{R_{11}^2(s) + R_{21}^2(s)} + iR_{31}(s)), \\
 y(s) &= \arg(R_{11}(s) + iR_{21}(s)), \\
 \theta(s) &= \arg(R_{33}(s) + iR_{32}(s)),
 \end{aligned}$$

$$\begin{aligned}
 \text{где } R(s) &= \begin{pmatrix} R_{11}(s) & R_{12}(s) & R_{13}(s) \\ R_{21}(s) & R_{22}(s) & R_{23}(s) \\ R_{31}(s) & R_{32}(s) & R_{33}(s) \end{pmatrix} = \\
 &= D_0^T e^{\tilde{y}(s)A_3} e^{-x(s)A_2} e^{\tilde{\theta}(s)A_1},
 \end{aligned}$$

$$D_0 = \frac{1}{M} \begin{pmatrix} \mu & \frac{\xi h_2^0 \sqrt{1 - (h_2^0)^2}}{\mu} & -\frac{h_2^0 h_3^0}{\mu} \\ 0 & \frac{M h_3^0}{\mu} & \frac{\xi M \sqrt{1 - (h_2^0)^2}}{\mu} \\ h_2^0 & -\xi \sqrt{1 - (h_2^0)^2} & h_3^0 \end{pmatrix},$$

$$\tilde{x}(s) = \arg(\sqrt{M^2 - h_2^2(s)} + i h_2(s)),$$

$$\tilde{y}(s) = \xi M^2 \left\langle \int_0^s \frac{\sqrt{1 - h_2^2(\sigma)}}{M^2 - h_2^2(\sigma)} d\sigma \right\rangle,$$

$$\tilde{\theta}(s) = \arg(h_3(s) - i \xi \sqrt{1 - h_2^2(s)}),$$

где

$$\mu = \sqrt{M^2 - (h_2^0)^2}, \quad M = \sqrt{\xi^2(1 - (h_2^0)^2) + (h_2^0)^2 + (h_3^0)^2}.$$

Полученные формулы в случае $C = 1$ были использованы для проверки метода решения задачи $P_{\text{мес}}$ в общем случае. Метод основан на решении системы с уравнением эйконала.

Теорема 3. *Пусть $W(R)$ является вязким решением системы*

$$\begin{aligned}
 &\sqrt{\frac{(X_1|_R(W))^2}{\xi^2} + (X_2|_R(W))^2} = C(R) \\
 &\text{для } \operatorname{Id} \neq R \in \operatorname{SO}(3), \\
 &W(\operatorname{Id}) = 0,
 \end{aligned}
 \tag{3}$$

СР кратчайшая $R(t) = R_b(W(R_{\text{fin}}) - t)$, соединяющая единицу группы Id с R_{fin} , находится интегрированием по $t \in [0, W(R_{\text{fin}})]$:

$$\dot{R}_b(t) = -u_1(t)X_1|_{R_b(t)} - u_2(t)X_2|_{R_b(t)}, \quad R_b(0) = R_{\text{fin}},$$

$$\text{где } u_1(t) = \frac{X_1|_{R_b(t)}(W)}{(\xi C(R_b(t)))^2}, \quad u_2(t) = \frac{X_2|_{R_b(t)}(W)}{(C(R_b(t)))^2}.$$

Решая численно систему (3) с функцией C , построенной по сферическому изображению сетчатки, мы получаем эффективный метод поиска кровеносных сосудов. Сравнение с методом [5] для плоских изображений показывает, что $SO(3)$ -кратчайшие более аккуратно следуют направлению сосудов. Более того, заметна ощутимая разница в измерении геодезической кривизны сосудов на сфере и кривизны их проекции на плоскость изображения. В заключение отметим, что кривизна сосудов используется как биомаркер [7] для диагностики многих систематических заболеваний, следовательно, предложенная модель СР геодезических на $SO(3)$ является актуальным уточнением модели [5].

Работа выполнялась при финансовой поддержке государства в лице Минобрнауки России в рамках проекта RFMEFI60716X0153.

СПИСОК ЛИТЕРАТУРЫ

1. *Peyré G., Péchaud M., Keriven R., Cohen L. D.* Geodesic Methods in Computer Vision and Graphics // Found. Trends. Comp. in Computer Graphics and Vision. 2010. V. 5. № 34. P. 197–397.
2. *Petitot J.* The Neurogeometry of Pinwheels as a Sub-Riemannian Contact Structure // J. Physiol. 2003. V. 97. P. 265–309.
3. *Citti G., Sarti A.* A Cortical Based Model of Perceptual Completion in the Roto-Translation Space // J. Math. Imaging Vis. 2006. V. 24. P. 307–326.
4. *Mashtakov A. P., Ardentov A. A., Sachkov Y. L.* Parallel Algorithm and Software for Image inpainting via Sub-Riemannian Minimizers on the Group of Rototranslations // Numerical Math.: Theory, Methods and Appl. 2013. V. 6. № 1. P. 95–115.
5. *Bekkers E. J., Duits R., Mashtakov A., Sanguinetti G. R.* A PDE Approach to Data-Driven Sub-Riemannian Geodesics in $SE(2)$ // SIAM J. Imaging Sci. 2015. V. 8. № 4. P. 2740–2770.
6. *Agrachev A. A., Sachkov Yu. L.* Control Theory from the Geometric Viewpoint. В.: Springer-Verlag, 2004.
7. *Sasongko M. B., Wong T. Y., Nguyen T. T., Cheung C. Y., Shaw J. E., Wang J. J.* Retinal Vascular Tortuosity in Persons with Diabetes and Diabetic Retinopathy // Diabetologia. 2011. V. 54. P. 2409–2416.
8. *Boscain U., Rossi F.* Invariant Carnot-Caratheodory metrics on S^3 , $SO(3)$, $SL(2)$ and Lens Spaces // SIAM J. Control and Optimization. 2008. V. 47. P. 1851–1878.
9. *Berestovskii V., Zubareva I.* Sub-Riemannian Distance in the Lie groups $SU(2)$ and $SO(3)$ // Sib. Adv. Math. 2016. V. 26. № 2. P. 77–89.
10. *Duits R., Boscain U., Rossi F., Sachkov Y. L.* Association Fields via Cuspless Sub-Riemannian Geodesics in $SE(2)$ // JMIV. 2014. V. 49. № 2. P. 384–417.